

並列円柱構造物の空気力学的挙動に関する考察

徳島大学 正員 宇都宮英彦
徳島大学 学生員○鎌倉 米康

1 まえがき

本研究は、長大吊橋や斜張橋の並列ケーブルの耐風安定性を研究することを目的としたもので、臨界レイノルズ数以下のいわゆる亞臨界領域における下流側円柱の空力弹性の特性について注目した。したがって上流側円柱は固定し、下流側円柱のみ弹性を持って、円柱間の距離や相対迎角を種々に変化させて流速変化に対する円柱の応答特性や、下流側円柱を固定してその静的三力特性などを、2次元部分模型による風洞実験から求め、並列円柱構造物の空気力学的特性についての定性的評価を行なった。

2 上流側円柱に対する後流速度変動

Fig-1に以下の実験における円柱間の水平距離と迎角の関係を示す。まず最初に、下流側円柱の位置での乱れの強さ、 $\text{Pe} = 10^4$ 、漏の発生振動数などと熱線風速計により求めた。Fig-2は斜直方向の乱れの強さを示すが、この図から円柱間の距離が短いほど、迎角 α の値が小さくなるほど乱れの強さは大きくなることがわかる。風速を変えても同様な傾向を示している。Table-1は並列円柱($\alpha=0^\circ$)での乱れの Pe を示すが、これからも距離が短いほど強度が大きくなる。Turbulence効果の影響は大きいことがわかり、後の応答結果に影響をおよぼしていると思われる。Table-2は後流漏の発生振動数を示す。これから漏の起振動の生じる限界換算風速 $V_{cr} (=V/f_v d)$ を求めると、約5程度になり、後の応答実験で発生している不定定振動が換算風速約12附近から生じるところから、後流漏による漏の起振動とは別の不定定振動であることがわかる。

3. 静的三力特性

静止した状態での下流側円柱に働く空気力(揚力、抗力)を測定し、その係数 $C_L (= \frac{1}{2} \rho V^2 C_L L)$, $C_D (= \frac{1}{2} \rho V^2 C_D D)$ を求めてFig-3に示した。 P : 空気密度, V : 風洞風速, D : 円柱直径, L : 円柱の長さ, L, D は測定された揚力および抗力である。図からわかるように兩種類曲線とともに円柱間の距離と迎角の関数であり、 C_L は注目する並列の位置($\alpha = 0^\circ$)の時、揚力係数はほぼ0度、 $\alpha > 0$ の時上向きの揚力、 $\alpha < 0$ の時下向きの揚力が働くことから振動を抑制するような力が働き、係数の分布形状としてはいわゆる逆流型の分布を示していることがわかる。抗力係数は後流の上半分と下半分ではほぼ同様の形を示し、並列の場合に前方円柱のために抗力の低下が見られる。これらと比較する長めに単独円柱に対する揚力係数と抗力係数を求めてTable-3に示す。これから単独円柱では揚力が働くが、前方に他の物体が存在することにより、下流側円柱が後流域に入り、揚力と抗力が種々に変化することがわかる。

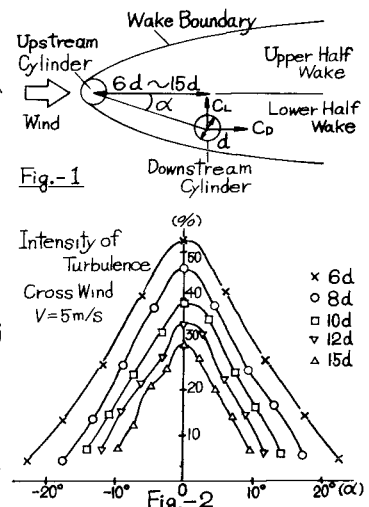


Table-1 Power of Turbulence ($\alpha=0^\circ$) m^3/s^3

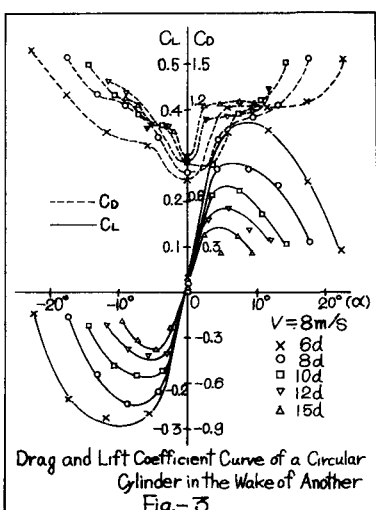
	6d	8d	10d	12d	15d
2m/s	0.308	0.292	0.256	0.158	0.122
5m/s	0.180	0.151	0.133	0.113	0.101

Table-2

	2m/s	5m/s	8m/s
f_v	14.4 Hz	31.4 Hz	48.2 Hz
$\sim f_v d$	$\sim 14.8 \text{ Hz}$	$\sim 31.9 \text{ Hz}$	$\sim 50.5 \text{ Hz}$

Table-3

	C_L	C_D
5m/s	0.078	1.305
8m/s	0.066	1.446



Drag and Lift Coefficient Curve of a Circular Cylinder in the Wake of Another Cylinder
Fig.-3.

4 応答特性

並列円柱($\alpha=0^\circ$)での、水平距離、 $6d$, $8d$, $10d$ に対する、長めの倍振幅(2η)-換算風速($\sqrt{2\pi f_0 d}$)の関係をFig-4に示す。換算風速約12附近から、風速とともに振幅が増加する不定定振動が発生した。距離が長くなるほど応答振幅は減少して、 $12d$, $15d$ では微少振幅のランダム振動状況を呈していた。発生した振動は揚力振($k_{el}=5$)以降の振動であり、直柱における Galloping 時性とよく似ているが、三分力特性では、 $\alpha=0^\circ$ の時揚力分配が正四配を示して、安定型であるため Den-Hartog の Galloping 理論によつて説明できない。また従来の Y.T. Tsuui^{2,3)}や A. Simpson^{2,3)}の準定常理論による不定定領域の予測方法では、本実験で認められた 1 自由度的付振動に対する不定定現象の出現を説明できない。

次に、 $6d$ の距離で迎角をつけて($\alpha=5.95^\circ$, $\alpha=11.77^\circ$)、振動実験を行なつたが、高風速になっても応答振幅は発達せず、変動の大きい微少振動であった。Fig.5 は $6d$, $\alpha=11.77^\circ$ の時の応答状況を示す。

また比較のために单孤円柱の応答状況をFig-6 に示す。これからわかるように、高風速になっても応答が発達せず、微少のランダム振動であることがわからり、前に述べた、長めの不定定振動が、上流側円柱による Turbulence 效果によるものであることが推察される。

5まとめ

以上の実験的考察をまとめると次のようになる。

i) 並列円柱構造物の場合、上流側構造物の後流中にあることにより下流側構造物が不定定運動力学的作用を受けて、風速とともに応答振幅が増加する不定定振動が発生する。この不定定振動は单孤円柱に対しては発生しない振動である。

ii) i) 大振幅の振動は揚力振の臨界風速以上で発生し、ii) 自由度的に発達していく。i) の振動は円柱のよろは風のよろは風の後流中で的一様な Turbulence 效果をもつ変動空気流による強制振動と考えられ、現象的には直柱において観察されるよろは Den-Hartog 型の Galloping 時性とよく似ている。

iii) 発生する不定定振動は円柱間の距離と迎角に多種々に変化する。つまり円柱間隔が短いほど、不定定性は増加し、距離が長くなるほど減少してゆき单孤円柱の応答と類似してくる。迎角に対する変化は $6d \sim 8d$ の、比較的小さな距離では並列($\alpha=0^\circ$)の場合に比べ、不定定性は減少してゆき、 $10d \sim 15d$ の距離に対しては迎角が増大するよろに伴い、水平方向の不定定振動が発生していくものと思われる。

iv) 三分力特性における揚力分配が正のよろで、不定定振動を生じて、準定常理論での解説と矛盾するよろは、おそらく、力と応答の位相差の存在により、必ずしもその位置で、三分力係数が示すよろは空気流を受けていないためであろうと思われるが、今回この位相差の定量的評価まではできなかった。今後、この位相差の概念と、非定常空気力を考慮した定量的評価がなされるべきであらう。

*参考文献

- 1) Y.T. Tsuui, "On the Wake-Induced Flutter of a Circular Cylinder in the Wake of Another."
- 2) A. Simpson, "On the Flutter of a Smooth Circular Cylinder in a Wake."
- 3) A. Simpson, "Wake Induced Flutter of a Circular Cylinders; Mechanical Aspects."

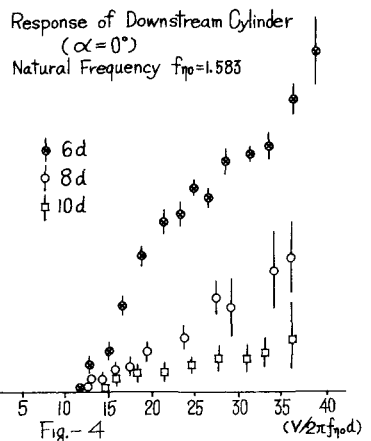


Fig. 4

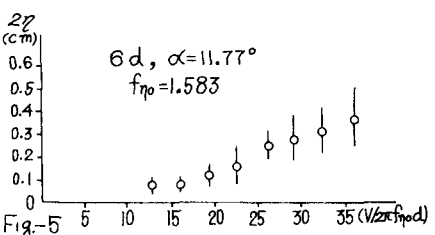


Fig. 5

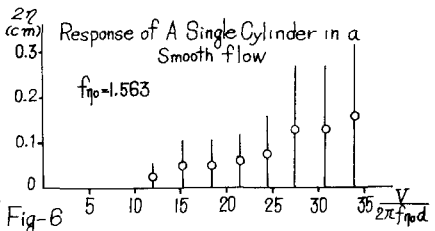


Fig. 6